



# سنچش از دور و GIS ایران



سنچش از دور و GIS ایران سال سوم، شماره چهارم، زمستان ۱۳۹۰  
Vol.3, No.4, Winter 2012

۱-۱۸

## استخراج اشکال متفاوت راه از تصاویر ماهواره‌ای با قدرت تفکیک‌های مختلف مکانی

فاطمه عامری<sup>\*</sup>، محمدجواد ولدان زوج<sup>۲</sup>، مهدی مختارزاده<sup>۳</sup>، علی محمد مبارکی<sup>۴</sup>

۱. دانشجوی دکتری سنچش از دور (RS)، دانشگاه صنعتی خواجه نصیرالدین طوسی
۲. دانشیار دانشگاه صنعتی خواجه نصیرالدین طوسی
۳. استادیار دانشگاه صنعتی خواجه نصیرالدین طوسی
۴. کارشناس ارشد سیستم‌های اطلاعات مکانی (GIS)

تاریخ پذیرش مقاله: ۱۳۹۰/۹/۲۲

تاریخ دریافت مقاله: ۱۳۸۹/۶/۲۴

### چکیده

مقاله حاضر به منظور بررسی قابلیت سیستم پیشنهادی استخراج نیمه‌خودکار راه از تصاویر ماهواره‌ای با حد تفکیک‌های مکانی مختلف به منظور بهنگام کردن نقشه‌های متوسط و کوچک‌مقیاس پایگاه داده GIS سازمان راهداری و حمل و نقل جاده‌ای کشور تهیه گردیده است. هدف پژوهش حاضر حفظ و یا افزایش دقت و سرعت استخراج اطلاعات در مقایسه با عملیات متریک، مارپیچ، تقاطع و میدان مورد بررسی قرار گرفته است. این، میزان موفقیت این سیستم در استخراج اشکال مختلف راه اعم از راه مستقیم، مارپیچ، تقاطع و میدان مورد بررسی قرار گرفته است. داده‌های ورودی سامانه مورد نظر شامل تصاویر پانکروماتیک و Pansharpened ماهواره‌های Ikonos و IRS-1D (به ترتیب دارای قدرت تفکیک مکانی ۴ و ۵ متر) و تصاویر Pansharpened ماهواره Landsat-7 در فضای طیفی و بهبود یافته FCM در فضای خوشبندی به وسیله اپراتورهای مورفولوژی با حذف پیشنهادی، ضمن انجام خوشبندی FCM در فضای طیفی و بهبود یافته MST در تئوری گراف و انتخاب تابع وزن مناسب (فاضله اقلیدسی) اقدام به راه‌ها را شناسایی کرده و در پایان با بهره‌گیری از الگوریتم RMS در فرمت‌برداری برای ورود به GIS کرده است. رسیدن به میانگین دقت کلی بیش از ۹۸ درصد در طبقه‌بندی تصویر به دو کلاس راه و غیرراه و حصول میانگین خطای RMS حدود ۰/۶۸ پیکسل - از مقایسه محور راه استخراج شده با واقعیت زمینی آن - نشانگر موفقیت کلی سامانه معرفی شده برای استخراج نیمه‌خودکار راه به شمار می‌آید.

**کلیدواژه‌ها:** استخراج نیمه‌خودکار راه، خوشبندی FCM، مورفولوژی، تئوری گراف، تصاویر با قدرت تفکیک‌های مکانی متفاوت.

\* نویسنده مکاتبه‌کننده: تهران، خیابان ولی‌عصر، تقاطع میرداماد، دانشگاه صنعتی خواجه نصیرالدین طوسی، دانشکده مهندسی نقشه‌برداری. تلفن: ۸۸۸۷۷۷۵۵۵

Email: Ameri\_fa@yahoo.com

**۱- مقدمه**

درک بهتر ایجاد می‌گردد ( Sowmya & Trinder, 2000).

استخراج خودکار راه از تصاویر در کاربردهای حمل و نقل نقش اساسی را ایفا می‌کند، چرا که موجب ایجاد، نگهداری و بهروزرسانی پایگاه داده شبکه راهها به منظور انجام فعالیت‌هایی چون مدیریت ترافیک، ناوبری خودکار و سایط نقلیه، حفظ امنیت و ارزیابی خطرها و بلایای طبیعی، تسهیل و فراهم آوردن زمینه مشارکت و همکاری برای تولید، تبادل و به اشتراک‌گذاری داده‌های مکانی در قالب زیرساخت داده مکانی<sup>۱</sup> (SDI) و جلوگیری از موازی‌کاری‌ها و دوباره‌کاری‌ها می‌گردد.

در عین حال برخی عوامل محدودکننده استخراج خودکار راه نیز وجود دارند که در این بین می‌توان به نوع پوشش زمینه تصویر و یا عوارض موجود در همسایگی راه، حد تفکیک مکانی تصویر عبور راه از مناطق شهری دارای ساختمان‌های زیاد، وجود عوارضی مانند وسایل نقلیه موجود در جاده‌ها، پل‌ها و سایه‌های حاصل از آنها و وجود پدیده‌هایی با درجات خاکستری مشابه با راه در تصویر مانند پارکینگ‌ها و باند فرودگاه‌ها اشاره کرد.

همان‌طور که می‌دانیم راه در تصاویر با حدود تفکیک مکانی مختلف با اشکال مختلف ظاهر می‌شود. در تصاویر با حد تفکیک مکانی کمتر از ۲ متر، راه به صورت عارضه‌ای خطی ظاهر می‌شود، اما در تصاویر با حد تفکیک مکانی بیش از ۲ متر، راه به صورت عارضه‌ای نواری<sup>۲</sup> یا سطحی ظاهر می‌شود و هدف از استخراج راه در این حالت، یافتن و استخراج محور مرکزی آن است.

بیش از دو دهه است که تحقیقاتی در مورد استخراج خودکار راه از تصاویر هوایی و فضایی در حال انجام است. در سال ۲۰۰۰، هلویچ و ویه دمان روش

امروزه دستیابی به اطلاعات زمین مرجع برای بسیاری از متخصصان و تصمیم‌گیران در حوزه داده‌های مکانی، دارای اهمیت بسزایی است. امری مهم و حائز استخراج عوارض از تصاویر هوایی و ماهواره‌ای، نوعی فناوری مکمل برای دستیابی به این گونه از اطلاعات به شمار می‌آید، که تفسیر و آنالیز تصویر را ساده‌تر می‌سازد و به منظور بهنگام‌سازی پایگاه‌های داده – که از نیازهای سیاسی سازمان‌ها محسوب می‌گردد – به کار می‌رود. به منظور استخراج اطلاعات از تصاویر، اغلب از روش‌های دستی و غیرخودکار استفاده می‌شود – که زمان بر و پرهزینه‌اند. به منظور غلبه بر این محدودیت‌ها، استفاده از روش‌های خودکار برای استخراج اطلاعات و آنالیز محتویات تصویر مورد نیاز است.

استخراج خودکار اطلاعات سطح زمین با استفاده از فتوگرامتری و سنجش از دور، نیازمند فرموله کردن معلومات انسانی و داده‌های تصویر است، به گونه‌ای که تمام محتوای تصویر را در بر بگیرد. البته انجام این عمل کار چندان ساده‌ای نیست، چرا که عوارض موجود در روی تصویر دارای ساختار پیچیده‌ای هستند. علت این پیچیدگی این است که هر تصویر، ترکیبی است از عوارض مختلف مانند پوشش گیاهی، عوارض ژئولوژیکی و هیدرولوژیکی، عوارض ساخت دست بشر مانند ساختمان‌ها و راه‌ها. همچنین مشکلاتی که در اثر تغییر روش‌نایی صحنه به وجود می‌آید مانند وجود سایه، ابر، کاستی‌های سنجنده و مانند اینها بر پیچیدگی کار می‌افزاید. لذا در انجام بررسی به منظور استخراج اطلاعات، بایستی دانش انسانی، داده‌های رقومی موجود و ارتباط بین آنها در نظر گرفته شوند.

با توجه به مطالب فوق می‌توان گفت که استخراج خودکار عوارض، فرآیندی است که در آن با ایجاد توصیفات روش و بامعنی از عوارض و تلفیق آنها با تکنیک‌های مختلفی مانند پردازش رقومی تصاویر، شناسایی الگو، مدل‌سازی هندسی و پردازش معلومات، بخش عمده‌ای از پردازش‌ها و مدل‌های نمایشی برای

1. Spatial Data Infrastructure  
2. Ribbon

و کاهش هزینه‌ها در ازای حفظ یا افزایش دقت استخراج اطلاعات در مقایسه با انجام عملیات میدانی و استفاده از GPS، طراحی گردیده است.

سامانه اطلاعات جغرافیایی پایه وزارت راه و ترابری، سامانه‌ای چندمقیاسی است که کاربران مختلف بر حسب نیاز و نوع پردازش، از مقیاس مورد نیازشان استفاده خواهند کرد.

در پژوهش حاضر، تصاویر ماهواره‌های IKONOS<sup>1</sup> و LANDSAT<sub>7</sub> ETM<sup>+</sup> و IRS<sub>1</sub>D در قدرت تفکیک‌های مکانی مختلف (۱، ۴، ۵ و ۱۵ متر) به منظور بهنگام ساختن نقشه‌های ساختمان راهداری و حمل و نقل جاده‌ای در مقیاس‌های ۱:۲۰۰۰ و ۱:۵۰۰۰۰۰ مورد استفاده قرار گرفته‌اند.

البته در استفاده از تصاویر ماهواره‌ای به منظور بهنگام‌سازی عوارض جغرافیایی، میزان در دسترس بودن تصاویر و هزینه آن نیز بایستی مورد بررسی قرار گیرد. از آنجا که طرح به روزرسانی شبکه راه‌ها و تأسیسات جانبی سازمان راهداری و حمل و نقل جاده‌ای هر شش ماه یکبار انجام می‌گیرد، و با توجه به مشکلات موجود در خرید و دریافت تصاویر با قدرت تفکیک مکانی بالا، نمی‌توان برای تمامی مناطق کشور و تمامی انواع راه‌ها و عوارض حاشیه‌ای آن، از تصاویر ماهواره‌ای استفاده کرد و در بسیاری از شرایط، ترکیب روش سنجش از دور با عملیات میدانی، استفاده از GPS و نقشه‌برداری زمینی مناسب‌ترین راه حل به شمار می‌آید.

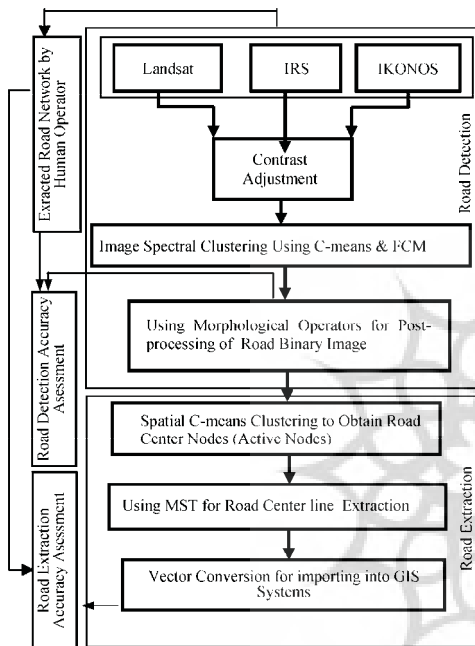
در مقاله حاضر به منظور پیاده‌سازی سامانه پیشنهادی استخراج نیمه‌خودکار راه و استخراج محورهای مرکزی راه‌های موجود در تصاویر، ابتدا عملیات پیش‌پردازش شامل بهبود کنتراست به روش تعدیل خطی هیستوگرام بر روی تصاویر ورودی انجام گرفته است. در ادامه و پس از خوش‌بندی تصویر به روش فازی FCM و استفاده از حد آستانه برای

استخراج ترکیبی از عوارض خطی و سطحی را از تصاویر تهیه شده به وسیله چندین سنسور ارائه کرددند (Hellwich & Wiedemann, 2000) باونه‌فون فرایند کاملی از بهنگام‌سازی عوارض خطی را با روشی کاملاً خودکار و همراه با ارزیابی کیفیت انجام داد. در همان سال منا مروج جامعی از روش‌های استخراج راه را ارائه کرده که در آن، این روش‌ها از جنبه‌های متفاوت طبقه‌بندی شده و مراجع گسترده‌ای برای آن ذکر گردیده است. نظریه استفاده از آنالیز هندسی و توپولوژیکی بر روی تصاویر باینری با قدرت تفکیک مکانی بالا به منظور برداری کردن خودکار شبکه راه‌ها را نیز همین فرد ارائه کرده است. محمدزاده نیز یک روش جدید قطعه‌بندی را به منظور استخراج راه از تصاویر با حد تفکیک بالا معرفی کرده است که تنها به تعداد کمی از پیکسل‌های راه به عنوان ورودی احتیاج دارد. سپس با استفاده از اپراتورهای مورفو‌لولوژیکی پیشرفته به استخراج محور مرکزی راه پرداخته است (Mohammadzadeh, 2006). مختارزاده نیز ساختار بهینه شبکه‌های عصبی و داده‌های ورودی را به منظور استخراج راه از تصویر چندطیفی ماهواره IKONOS تعیین کرده است. وی همچنین مقایسه‌ای بین نتایج بدست آمده از روش شبکه‌های عصبی و روش آماری Maximum-Likelihood در استخراج راه Mokhtarzade & Valadan Zoej, (2007). زانگ و کولونر (2006) نیز تأثیر استفاده از ATS<sup>2</sup> را در تفکیک راه از پارکینگ در تصاویر ماهواره‌ای با حد تفکیک بالا مورد ارزیابی قرار داده‌اند. علاوه بر آن، در این تحقیق از اطلاعات طیفی و بافت به طور جداگانه به منظور تشخیص راه و حذف پیکسل‌های غیرراه استفاده گردیده است.

سامانه پیشنهادشده در این مقاله تحت عنوان «سیستم پیشنهادی استخراج نیمه‌خودکار راه» با هدف تأمین نیاز اساسی سازمان راهداری و حمل و نقل جاده‌ای به داشتن منابع بهنگام از راه‌های کشور و افزایش سرعت و سهولت بهنگام‌سازی پایگاه داده GIS

1. Angular Texture Signature  
2. Global Positioning system

MST میسر گردیده است. به منظور درک بهتر جایگاه مراحل مختلف پیاده‌سازی سامانهٔ پیشنهادشده استخراج نیمه‌خودکار راه از تصاویر ماهواره‌ای، فلوچارت این سیستم در شکل ۱ معرفی شده است. در ادامه مراحل مختلف فلوچارت معرفی می‌گردد.



شکل ۱. فلوچارت سامانهٔ پیشنهادی استخراج نیمه‌خودکار راه از تصاویر ماهواره‌ای

**۱-۲-داده‌های ورودی**  
با توجه به اینکه هدف از این تحقیق، استخراج راه از تصاویر ماهواره‌ای با حدود تفکیک مختلف مکانی است، نواحی از تصاویر چندطیفی<sup>۳</sup> (MS) و Pansharpened (MS) و ماهواره IKONOS دارای حد تفکیک مکانی به ترتیب ۴ و ۱ متر، تصویر سیاه و سفید<sup>۳</sup> (Pan) ماهواره ۵ متر و تصاویر IRS-1D با حد تفکیک مکانی ۶ متر و تصاویر

1. Minimum Spanning Tree
2. Multi-Spectral
3. Panchromatic

غیرفازی‌سازی، تصویر باینری کلاس راه به‌دست می‌آید. سپس به‌منظور حذف نویزها و پیکسل‌های غیرمرتب‌بط با کلاس راه و افزایش دقت خوش‌بندی تصویر باینری حاصل، از تلفیقی از توابع مورفو‌لوژی مانند Erosion، Closing، Opening، Delation مانند اینها استفاده می‌گردد. در ادامه با تعریف شبکه‌ای منظم از پیکسل‌ها با فواصل معین و انجام خوش‌بندی k-means در فضای مکانی، نقاط مستقر بر روی محور مرکزی راه به‌دست می‌آیند. در انتها نیز تئوری گراف و الگوریتم<sup>۱</sup> به منظور اتصال این نقاط و استخراج محور مرکزی راه به کار گرفته می‌شود. ارزیابی دقت طبقه‌بندی و محور راه استخراج شده نیز مرحله پایانی تحقیق حاضر را تشکیل می‌دهد.

مقاله حاضر شامل چهاربخش است. پس از بیان مقدمه در بخش نخست، مراحل پیاده‌سازی سامانهٔ پیشنهادی در بخش دوم ارائه می‌شود. در بخش سوم، نتایج عملی حاصل از پیاده‌سازی سامانهٔ نیمه‌خودکار استخراج راه بر روی تصاویر ماهواره‌ای در چندین حد تفکیک مکانی مختلف تشریح می‌گردد. در بخش آخر نیز جمع‌بندی روش پیشنهادی و نتایج حاصل بررسی می‌گردد.<sup>۵</sup>

## ۲-مراحل پیاده‌سازی سامانهٔ استخراج نیمه‌خودکار راه از تصاویر ماهواره‌ای با قدرت تفکیک‌های مختلف مکان

به طور کلی مراحل پیاده‌سازی سامانهٔ پیشنهادی را به دو بخش می‌توان تقسیم کرد: مرحله کشف راه و مرحله برداری‌سازی. مرحله کشف راه به استخراج پیکسل‌های متعلق به کلاس راه در بین کلاس‌های عوارض موجود در تصویر می‌پردازد، و برای این منظور در سیستم پیشنهادی از تکنیک‌های خوش‌بندی نظارت‌نشده و توابع مورفو‌لوژی استفاده شده است. هدف از مرحله برداری‌سازی نیز به‌دست آوردن محور راه استخراج شده در مرحله کشف راه به عنوان عارضه‌ای خطی است که در این تحقیق با استفاده از تئوری گراف و الگوریتم

در الگوریتم c-Means ابتدا تعداد کلاس‌ها (c) با مشاهده تصویر و تخمین تعداد کلاس‌های موجود در آن، بهوسیله کاربر به الگوریتم معرفی می‌شود و پس از آن با روش سعی و خطا بهبود می‌یابد. پس از معرفی تعداد کلاس‌ها، مراکز اولیه خوش‌ها به صورت تصادفی از بین کل درجات خاکستری موجود در تصویر انتخاب می‌گردد. مراکز خوش‌ها پس از پایان آخرین مرحله تکرار به مناسب‌ترین مقدار خود می‌رسد و الگوریتم پایان می‌یابد. در مرحله بعد، مقادیر مراکز به دست آمده برای کلاس‌ها به عنوان ورودی روش FCM، وارد الگوریتم مذکور می‌شود و با تعیین پارامتر فازی  $m$  بهوسیله کاربر، الگوریتم به اجرا درمی‌آید. لازم به ذکر است که استفاده از خوش‌بندی c-means و تخمین اولیه مراکز خوش‌ها از طریق آن و معرفی آن به الگوریتم FCM و عدم تعیین تصادفی مراکز خوش‌ها مانع افزایش فرآیند تکرار و تعیین سریع‌تر و دقیق‌تر مراکز خوش‌ها بهوسیله الگوریتم FCM می‌گردد.

با انتخاب حد آستانه بهوسیله کاربر، تصویر غیرفازی‌شده و باینری نهایی به دست می‌آید و کلاس مربوط به راه از بین کلاس‌های موجود بهوسیله کاربر انتخاب می‌گردد. پس از انتخاب کلاس راه از بین کلاس‌های موجود - که تصویری باینری است - از آنجا که تمامی پیکسل‌های موجود در این کلاس نشانگر راه نیستند، از پس‌پردازش‌هایی بر روی تصویر باینری حاصل استفاده می‌گردد.

در پژوهش حاضر به منظور انجام پس‌پردازش و افزایش دقت کلاس راه به دست آمده، از اپراتورهای مورفو‌لوزیکی استفاده شده است. در تصاویر مورد بررسی، متناسب با شکل راه و همچنین شکل نویزها و عوارض دیگری که جزء کلاس راه نیستند ولی در کلاس راه واقع شده‌اند، از یک یا تعدادی از اپراتورهای مورفو‌لوزیکی Opening، Thicken، Majority، Clean، Bridge، Closing استفاده گردیده است. این اپراتورها موجب حذف نویزها

#### 1. Linear Histogram Stretching

Pansharpened LANDSAT-7 ETM+ با حد تفکیک مکانی ۱۵ متر شامل راه‌هایی با اشکال هندسی مختلف به عنوان تصویر ورودی به الگوریتم، انتخاب گردیده‌اند. علاوه بر داده‌های ورودی ذکرشده از هیچ داده ورودی و یا اطلاعات جانبی دیگری در سیستم پیشنهادی استفاده نشده است.

در تصاویر مورد استفاده در این تحقیق، در صورت نیاز از روش تعدیل خطی هیستوگرام<sup>۱</sup> برای انجام پیش‌پردازش استفاده شده است. در این روش درجات خاکستری با استفاده از یکتابع تبدیل خطی از دامنه مشاهداتی (که قاعده‌تاً تمامی دامنه دینامیکی را نمی‌پوشاند)، به دامنه کاملی دینامیکی تبدیل می‌گردد. این تبدیل باعث تفاوت بیشتر درجات خاکستری و در نتیجه افزایش کنتراست می‌گردد. مسلمًاً تغییر درجات خاکستری که در نتیجه بهبود کنتراست تصویر به وجود می‌آید، بر نتیجه خوش‌بندی تصویر نیز تأثیر می‌گذارد.

## ۲-۲- مرحله کشف راه

با توجه به فلوچارت ارائه شده در شکل ۱، در این مرحله تکنیک‌های طبقه‌بندی نظارت‌نشده FCM و c-means بهمنظور کشف راه مورد استفاده قرار گرفته است. در مرحله خوش‌بندی تصویر که از جمله تکنیک‌های مورد نیاز در فرآیند طبقه‌بندی نظارت‌نشده به شمار می‌آید، عوارض مشابه در قالب گروه‌های مختلف طبقه‌بندی می‌گردد. این روش‌ها عمدتاً به منظور انجام برآورده اولیه از منطقه و میزان تفکیک‌پذیری کلاس‌ها و عوارض به کار می‌روند. برای آشنایی بیشتر با این الگوریتم‌ها و مراحل پیاده‌سازی آنها ن.ک. (۱۹۸۴)

Richards & Xiuping (۲۰۰۶) و Bezdek et al.

در سامانه پیشنهادی، پس از اعمال پیش‌پردازش، ابتدا طبقه‌بندی به روش نظارت‌نشده c-means بر روی تصویر انجام گرفته و سپس خروجی این الگوریتم - که همان مقادیر درجات خاکستری مراکز خوش‌های است - به عنوان ورودی، به الگوریتم FCM معرفی گردیده است.

شده است. در ادامه به تشریح هر یک از این دو مرحله با ذکر جزئیات هر روش پرداخته شده است.

#### ۲-۱-۱- کشف نقاط کلیدی راه

در بخش ۲-۲ الگوریتم C-Means و FCM در فضای طیفی به کار گرفته شدند. ورودی این الگوریتم‌ها مقادیر درجات خاکستری مراکز خوش‌ها هستند که در الگوریتم C-Means به طور تصادفی انتخاب شده‌اند و در الگوریتم FCM، مراکز خوش‌های بهینه هستند که از الگوریتم C-Means به دست آمدند. در این مرحله، خوش‌بندی C-Means در فضای تصویر (مکانی) و با معرفی شبکه‌ای از نقاط با فواصل منظم (که موقعیت مکانی آنها به جای مقادیر درجات خاکستری شان دارای اهمیت است) به عنوان مراکز اولیه خوش‌ها انجام می‌گیرد. لازم به ذکر است که در این مرحله تنها پیکسل‌های راه موجود در تصویر باینری، در الگوریتم C-Means شرکت می‌کنند. با انجام این مرحله، مکان تعدادی از نقاط تغییر می‌یابد و بر روی محور مرکزی راه قرار می‌گیرند که اصطلاحاً به آنها نقاط اصلی اطلاق گردیده است، در حالی که باقی آنها تغییر مکان نمی‌یابند که اصطلاحاً به آنها «نقاط مرده»<sup>۲</sup> می‌گویند. حاصل این بخش از سیستم پیشنهادی، مجموعه‌ای از نقاط واقع بر محور مرکزی عارضه راه است که بهمنظور حصول محور مرکزی راه باشیستی به یکدیگر متصل گرددند.

#### ۲-۲-۱- استفاده از MST برای ایجاد اتصال بین

##### نقاط اصلی راه

پس از به دست آمدن نقاط مستقر بر روی محور مرکزی راه (نقاط اصلی)، نوبت به اتصال این نقاط و استخراج محور مرکزی راه با استفاده از مفاهیم گراف و MST و با پیاده‌سازی الگوریتم Kruskal MST می‌رسد. در این بخش

و پیکسل‌های غیرراه از تصویر باینری کلاس راه، پر کردن گپهای موجود در راه، و افزایش دقیق طبقه‌بندی می‌گردد. بهمنظور آشنایی با توابع Mورفولوژیکی ن.ک. (Gonzalez et al. 2007)

#### ۲-۳- ارزیابی دقیق مرحله کشف راه

بهمنظور به دست آوردن دقیق مرحله کشف راه، ماتریس وقوع توأم<sup>۱</sup> و پارامترهای آن شامل دقیق کلی، ضریب کاپا، دقیق کاربر و تولیدکننده و خطاهای موجود در طبقه‌بندی محاسبه گردیدند. (Richards & Xiuping, 2006). این پارامترها برای تمامی تصاویر مورد استفاده محاسبه شدند و دقیق طبقه‌بندی را در دو مرحله به دست می‌دهند. مرحله نخست، برآورده دقیق و خطای پس از طبقه‌بندی و پیش از اپراتورهای پس‌پردازش است که پارامترهای آن با Kappa، OA، PA، O، C، UA، ضریب کاپا، دقیق کاربر، دقیق تولیدکننده، خطای Commission و خطای Omission هستند، نشان داده شده است. مرحله دوم نیز برآورده دقیق و خطای پس از اعمال پس‌پردازهای طبقه‌بندی (استفاده از اپراتورهای Mورفولوژیکی) بر روی تصویر باینری است، که پارامترهای آن با Kappa<sub>post</sub>، OA<sub>post</sub>، UA<sub>post</sub>، PA<sub>post</sub>، C<sub>post</sub>، O<sub>post</sub> نشان داده می‌شوند. با مقایسه مقادیر متناظر این پارامترها پیش و پس از اعمال اپراتورهای Mورفولوژیکی، می‌توان به نقش پس‌پردازهای طبقه‌بندی در بهبود نتایج آن پی برد.

#### ۴-۲- مرحله برداری‌سازی محور مرکزی راه

در پژوهش حاضر بهمنظور استخراج شبکه برداری راه، مراحل کار در دو بخش اصلی شامل مرحله کشف نقاط اصلی راه و ایجاد اتصال بین نقاط اصلی راه به انجام می‌رسد. بهمنظور کشف نقاط اصلی راه از روش خوش‌بندی در فضای تصویر و برای ایجاد اتصالات بین نقاط اصلی کشف شده، از الگوریتم‌های گراف استفاده

1. Co-occurrence matrix  
2. Dead Node

فاصله به عنوان معیار وزن استفاده شده است.  
بنابراین، مرتب‌سازی یال‌ها براساس طول یال‌ها صورت می‌گیرد.

- مرحله دوم: کم‌وزن‌ترین یال موجود را به عنوان یال اولیه الگوریتم انتخاب می‌کنیم (چنانچه بیش از یک یال دارای کمترین وزن باشد، یکی از آنها را به عنوان یال اول به‌طور تصادفی انتخاب می‌کنیم).
- مرحله سوم: در این مرحله یال دارای کمترین وزن بعدی که قبلًا به‌وسیله الگوریتم انتخاب نشده است و از طرفی یک سیکل را نیز تشکیل نمی‌دهد، به عنوان یال بعدی انتخاب می‌گردد.<sup>۱</sup>
- مرحله چهارم: مرحله سوم را تا جایی ادامه می‌دهیم که درخت حاصل شامل تمامی گره‌ها باشد. (چنانچه N گره در گراف موجود باشد، درخت حاصل دارای N-1 یال خواهد بود).

به این شکل MST مورد نظر به دست می‌آید. الگوریتم MST یکی از مفاهیم اساسی گراف‌های است که کاربردهای گوناگونی دارد. از مهم‌ترین کاربردهای MST، طراحی شبکه‌های گوناگون مانند خطوط تلفن، خطوط الکترونیکی و هیدرولیکی، کابل‌های تلویزیونی، شبکه‌های کامپیوتری و جاده‌ها را می‌توان نام برد. در تحقیق حاضر به منظور پیاده‌سازی الگوریتم Kruskal ابتدا لازم است فاصله اقلیدسی تمامی نقاط اصلی (گره‌های گراف) از یکدیگر به دست آید و به عنوان یال‌های گراف به الگوریتم معروفی گردد. با پیاده‌سازی الگوریتم، گره‌هایی که از یکدیگر کمترین فاصله را دارند و از طرف دیگر سیکل تشکیل نمی‌دهند به یکدیگر متصل می‌شوند و یال‌های گراف را تشکیل می‌دهند. خروجی این الگوریتم محور مرکزی راه استخراج شده است که می‌تواند به صورت فایل برداری به منظور تهیه نقشه وارد سیستم‌های GIS گردد.

(Doucette et al., 2001)

#### 1. Pearson Correlation

لازم است تا با این روش بیشتر آشنا شویم (Horowitz et al., 2007).

فرض کنید G گراف غیرجهت‌دار و متصل باشد، ST زیرگرافی از G به صورت درخت است که یک درخت بوده و شامل تمامی گره‌های G را در بر می‌گیرد. MST نیز یک ST است که در آن تمامی یال‌ها دارای وزن هستند و مجموع وزن‌های مرتب‌بایال‌های موجود، دارای کمترین مقدارند. به منظور یافتن MST، دو الگوریتم متداوی به نام‌های الگوریتم Kruskal و الگوریتم Prime وجود دارند که از لحاظ متدولوژی متفاوت‌اند ولی نتیجه مشترکی خواهند داشت. الگوریتم Kruskal از اتصال یال‌ها و الگوریتم Prime از اتصال گره‌ها به منظور یافتن MST استفاده می‌کند. الگوریتم Kruskal که برای نخستین بار در سال ۱۹۶۵ به‌وسیله جوزف کروسکال در انجمان ریاضی‌دانان آمریکا ارائه شد، زیرمجموعه‌ای است از یال‌ها که درختی را تشکیل می‌دهند و تمامی گره‌ها را شامل می‌شوند. یکی از بارزترین ویژگی‌های درخت حاصل، کمینه بودن مجموع وزن‌های تمامی یال‌های موجود در درخت است. انتخاب پارامتر وزن با توجه به کاربردهای مختلف صورت می‌گیرد. پارامترهایی نظیر فاصله، زمان، شبیب و بسیاری پارامترهای دیگر می‌توانند در این الگوریتم به عنوان وزن انتخاب گردند. در سامانه پیشنهادی در تحقیق، پارامتر فاصله به عنوان پارامتر وزن انتخاب شده است. فاصله نیز دارای انواع مختلفی مانند فاصله اقلیدسی، فاصله مانهاتان، معیار همبستگی پیرسون<sup>۱</sup> و مانند اینهاست، که در این تحقیق از الگوریتم Kruskal و فاصله اقلیدسی به عنوان پارامتر وزن استفاده شده است.

الگوریتم Kruskal به ترتیب زیر عمل می‌کند (Hellwich & Wiedemann, 2000)

- مرحله یکم: ابتدا تمامی یال‌ها را به ترتیب وزن آنها از کمترین تا بیشترین وزن مرتب می‌کنیم. یادآوری می‌شود که در تحقیق حاضر از پارامتر

لازم به ذکر است که این معیار برای تمامی تصاویر مورد بررسی در تحقیق محاسبه نگردیده و تنها برای تصاویری که از یک سو محورهای مرکزی راههای آن به طور کامل استخراج نشده است و دارای گپ هستند و از سوی دیگر اثر زیگزاگی در طول راه مشاهده نمی‌شود، محاسبه گردیده است.

### ۳- نتایج عملی پیاده‌سازی سامانهٔ پیشنهادی استخراج راه بر روی تصاویر ماهواره‌ای

حال پس از معرفی سامانهٔ پیشنهادی و مراحل پیاده‌سازی آن نوبت به اعمال آن بر روی نواحی، از تصاویر ماهواره‌ای با حد تفکیک‌های مکانی مختلف شامل IRS-1D، IKONOS، ETM<sup>+</sup> و LANDSAT-7 می‌رسد. تا حد امکان کوشش شده است که اشکال مختلف راه اعم از راه مارپیچ، تقاطع و میدان مورد بررسی قرار گیرد و مزایا و محدودیت‌های سامانهٔ پیشنهادی در نمایش اشکال مختلف راه و نتایج حاصل بررسی گردد.

در شکل ۲ (a) تا (g) مراحل استخراج نیمه‌خودکار راه از تصویر Pan-sharpened ماهواره IKONOS (قدرت تفکیک مکانی ۱ متر) از منطقه‌ای کوهستانی در لواسان و به ابعاد  $119 \times 170$  نشان داده شده است. شکل ۲ (a) تصویر اولیه را نشان می‌دهد. شکل ۲ (b) نتیجه طبقه‌بندی نظارت‌نشده FCM بر روی تصویر است، که تصویر باینری مربوط به کلاس راه در آن نشان داده شده است. شکل ۲ (c) حاصل اعمال اپراتورهای مورفو‌لوژیکی بر روی تصویر باینری راه است. همان‌طور که ملاحظه می‌شود، اعمال این اپراتورها موجب پاک‌سازی تصویر از پیکسل‌های غیرراه و پرکردن گپ‌های موجود در راه می‌شود و دقت طبقه‌بندی را افزایش می‌دهد. در شکل ۲ (d) شبکه‌ای به ابعاد  $8 \times 12$  به تصویر باینری راه برازش داده شده و الگوریتم C-Means در فضای تصویر بر روی پیکسل‌های راه اعمال شده است. در شکل ۲ (e) نقاط اصلی به رنگ سفید و نقاط مرده به رنگ قرمز نشان داده شده است.

### ۴-۵- ارزیابی دقت مرحلهٔ برداری‌سازی محور مرکزی راه

پس از استخراج محور مرکزی راه، بایستی به منظور تعیین میزان فاصلهٔ محور راه استخراج شده با آنچه کاربر به عنوان داده مرجع زمینی به صورت دستی استخراج کرده است مقایسه‌ای صورت پذیرد و میزان عدم تطابق آن دو محور مرکزی به دست آید. به این منظور محورهای راه استخراج شده به صورت خودکار و دستی، وارد نرم‌افزار PCI Geomatica می‌شود و پس از تبدیل به فرمت برداری، فاصله آنها بر حسب پیکسل در دو راستای  $x$  و  $y$  اندازه‌گیری می‌گردد. به دلیل عدم امکان اندازه‌گیری فاصلهٔ دو محور در تمام طول راه، این فاصله تنها در نقاط اصلی که بر روی محور مرکزی راه استخراج شده‌اند، اندازه‌گیری می‌شود. پس از به دست آمدن فاصلهٔ دو محور راه، خطای RMS راه استخراج شده با استفاده از رابطه (۱) محاسبه می‌گردد. این خطای بر حسب پیکسل بیان می‌شود، با داشتن حد تفکیک مکانی تصویر، قابل تبدیل به فاصله زمینی است. بدین ترتیب دقت راه استخراج شده به دست می‌آید.

$$\text{رابطه (۱)} \quad \text{RMSE} = \sqrt{\frac{1}{n} \sum_{i=1}^n (\Delta x_i^2 + \Delta y_i^2)}$$

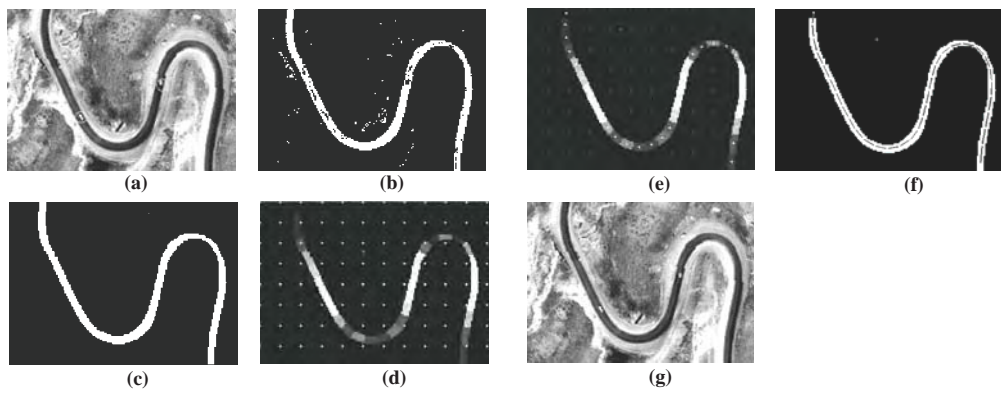
در این رابطه  $n$  تعداد نقاط اصلی،  $\Delta x_i$  فاصله محور راه استخراج شده به روش خودکار از روش دستی در راستای  $x$  در نقطه  $i$ ، و  $\Delta y_i$  فاصلهٔ محور راه استخراج شده به روش خودکار از دستی در راستای  $y$  در نقطه  $i$  است.

معیار دیگری نیز به نام Completeness به منظور ارزیابی صحت راه استخراج شده تعریف شده است. این معیار که از تقسیم طول راه صحیح استخراج شده به روش خودکار بر طول راه استخراج شده به روش دستی به دست می‌آید، نشانگر درصد استخراج کامل راه است. فرمول این معیار در رابطه (۲) بیان شده است.

$$\text{رابطه (۲)}$$

$$\text{Completeness} = \frac{\text{طول راه صحیح استخراج شده به روش خودکار}}{\text{طول راه استخراج شده به روش دستی}}$$

## استخراج اشکال متفاوت راه از تصاویر ماهواره‌ای با قدرت تفکیک‌های مختلف مکانی



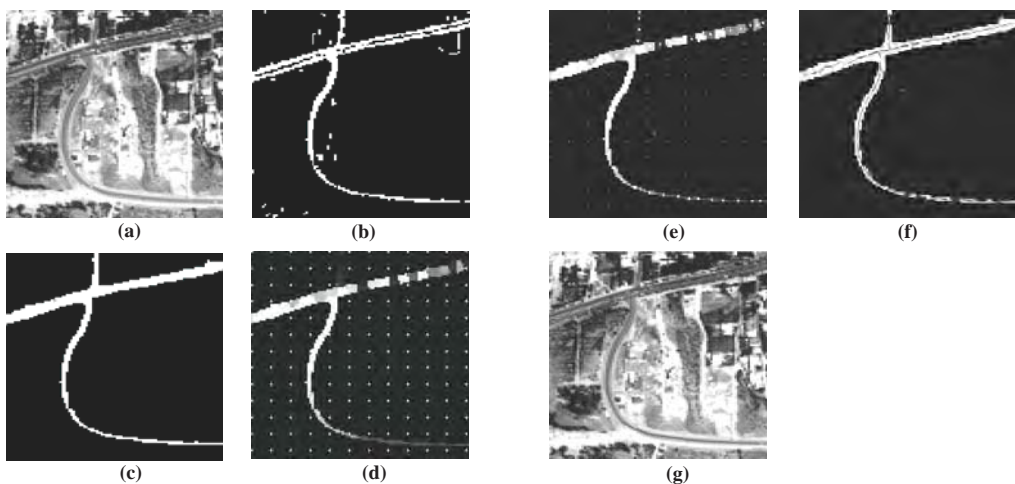
شکل ۲. مراحل استخراج نیمه‌خودکار راه از تصویر ماهواره IKONOS دارای بافت کوهستانی در لوسان

شکل ۵ (a) یک تصویر Pan از ماهواره IRS-D (قدرت تفکیک مکانی ۵ متر) از منطقه‌ای کوهستانی در لوسان و به ابعاد  $208 \times 308$  را نشان می‌دهد. مراحل استخراج نیمه‌خودکار راه – مانند آنچه در مورد تصاویر قبل انجام شد – بر روی این تصویر انجام گرفته که حاصل آن در شکل ۵ (a) تا (g) ارائه شده است. همان‌طور که مشاهده می‌شود، سامانه مذکور در استخراج این نوع راه، به علت تفاوت محسوس درجات خاکستری راه و زمینه – که ناحیه‌ای کوهستانی است – موفق عمل کرده است.

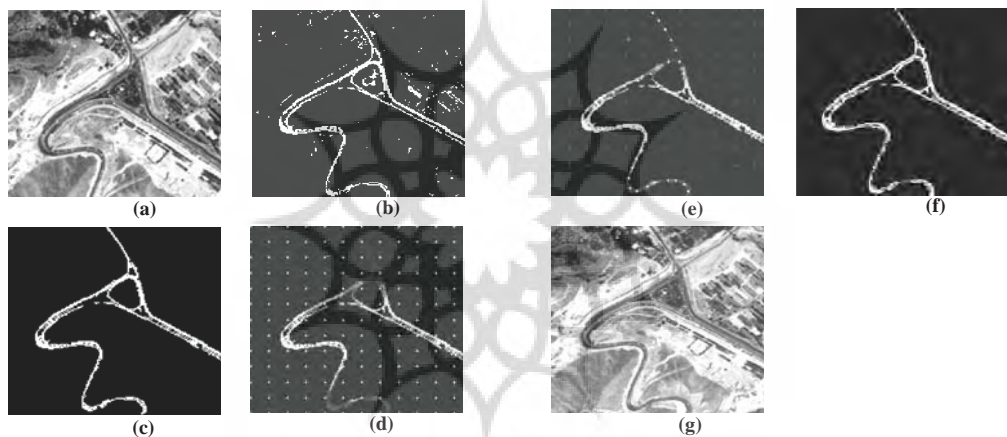
شکل ۶ (a) تا (g) یک تصویر Pan از PanSharpened ماهواره Landsat ETM+ (قدرت تفکیک مکانی ۱۵ متر) از منطقه‌ای غیرشهری واقع در اسلام‌شهر و به ابعاد  $266 \times 250$  را نشان می‌دهد که مراحل مختلف اعمال سیستم استخراج راه در آن ارائه گردیده است. همان‌طور که مشاهده می‌شود، سامانه پیشنهادی در مورد راه‌های موجود در این تصویر نیز به خوبی عمل کرده است. تنها در محل تقاطع، اندکی حالت زیگزاگ ایجاد شده است، که علت آن نیز ثابت بودن فاصله تعريف شده بین نقاط شبکه در عین تغییر ضخامت راه در محل تقاطع است. برای از بین رفتن این اثر بایستی شبکه متراکم‌تری از نقاط تعريف شود.

شکل ۲ (f) نیز حاصل اعمال MST با استفاده از الگوریتم Kruskal و انتخاب فاصله اقلیدسی نقاط اصلی به عنوان وزن یال‌هاست. در شکل ۲ (g) نیز محور راه استخراج شده بر روی تصویر اولیه واقع شده است که دارای فرمت برداری است.

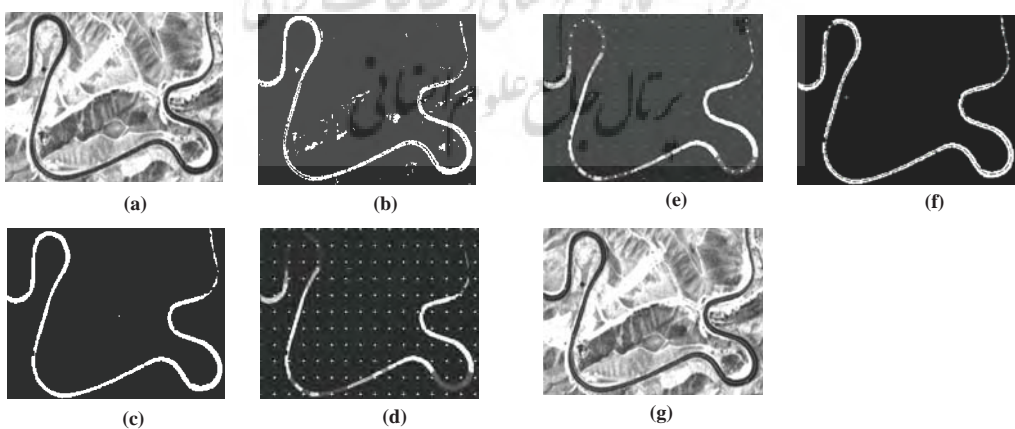
شکل ۳ و شکل ۴ نیز نتایج اعمال مراحل مختلف سیستم استخراج نیمه‌خودکار راه را بر روی تصویر چندطیفی (MS) از ماهواره IKONOS (قدرت تفکیک مکانی ۴ متر) از منطقه لوسان و به ترتیب به ابعاد  $115 \times 169$  و  $162 \times 101$  که دارای بافت نیمه‌شهری هستند، نشان می‌دهد. همان‌طور که در شکل ۳ (b) مشاهده می‌شود، علت وجود گپ خطی در این شکل، اختلاف درجات خاکستری راه با جدول وسط آن است که البته با استفاده از اپراتورهای مورفولوژیکی، این اثر در شکل ۳ (c) از بین رفته است. همان‌طور که در شکل ۴ (g) مشاهده می‌شود، از آنجا که یکی از شرایط الگوریتم MST نبود سیکل در گراف است، در این تصویر لوپ‌ها بسته نشده‌اند. بنابراین در شرایطی که در تصویر عوارضی مانند میدان‌ها، فلکه‌ها و سایر عوارض سیکل مانند وجود دارند، استفاده از الگوریتم MST برای اتصال گره‌ها، به تنهایی کافی نیست و نیازمند عملیات تکمیلی است؛ این امر یکی از دلایل نیمه‌خودکار بودن سامانه استخراج پیشنهادی ماست.



شکل ۳. مراحل استخراج نیمه‌خودکار راه از تصویر MS ماهواره IKONOS دارای بافت نیمه‌شهری در لوسان

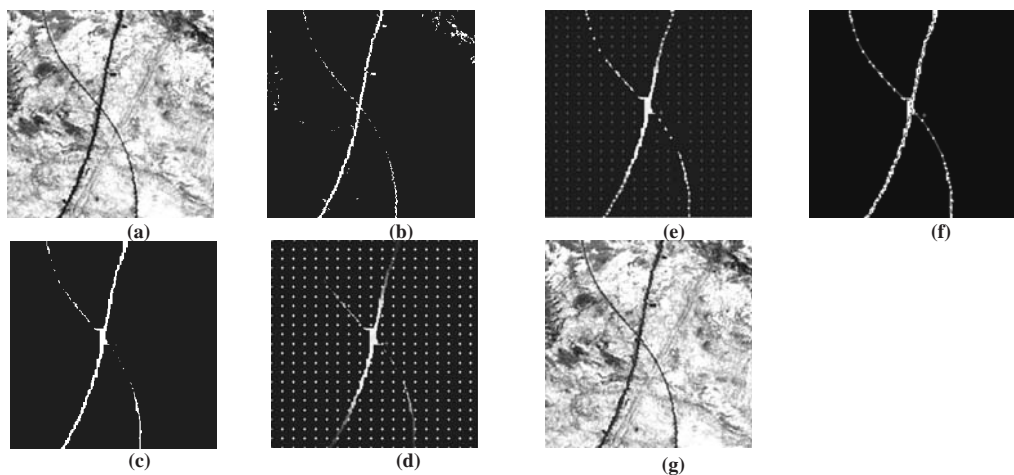


شکل ۴. مراحل استخراج نیمه‌خودکار راه از تصویر MS ماهواره IKONOS دارای بافت نیمه‌شهری در لوسان (میدان)

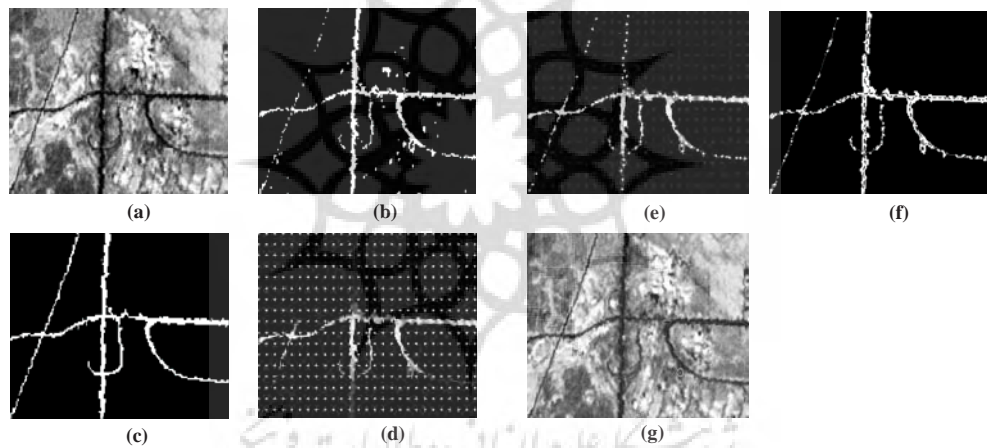


شکل ۵. مراحل استخراج نیمه خودکار راه از تصویر Pan IRS-1D ماهواره از منطقه‌ای کوهستانی در لوسان

### استخراج اشکال متفاوت راه از تصاویر ماهواره‌ای با قدرت تفکیک‌های مختلف مکانی



شکل ۶. مراحل استخراج نیمه خودکار راه از تصویر Pan-sharpened ماهواره Landsat از منطقه‌ای غیرشهری در اسلام‌شهر



شکل ۷. مراحل استخراج نیمه خودکار راه از تصویر Pan-sharpened ماهواره Landsat 7 ETM+ از منطقه‌ای نیمه شهری در اسلام‌شهر

نمی‌توان برای انواع راه و باضخامت‌های گوناگون، در هنگام تعریف فاصله بین نقاط شبکه در اجرای الگوریتم خوشبندی در فضای مکانی، حکمی کلی صادر کرد. افزایش اثر زیگزاگی راه، وجود اتصالات جاافتاده و یا اتصالات اضافی، محدودیت سیستم را در چنین شرایطی نشان می‌دهند. لذا چنین می‌توان ارزیابی کرد که دقیت سامانه پیشنهادی در شرایط وجود انواع مختلف راه با ضخامت‌های متفاوت، اندکی کاهش می‌یابد.

شکل ۷ (a) تا (g) نیز یک تصویر Pan-sharpened ماهواره Landsat<sub>7</sub> ETM<sub>+</sub> از منطقه نیمه شهری دیگری واقع در اسلام‌شهر و به ابعاد ۱۱۹×۱۸۷ را نشان می‌دهد که مراحل استخراج نیمه خودکار راه بر روی آن انجام گرفته است.

در این تصویر انواع مختلف راه شامل راه مستقیم و منحنی و تقاطع دیده می‌شود که ضخامت‌های متفاوتی دارند. در این شرایط، نحوه عمل سامانه استخراج پیشنهادی با برخی دشواری‌ها مواجه می‌شود، چرا که

تصاویر، عامل اصلی کاهش دقت طبقه‌بندی (OA) قلمداد می‌شوند.

### ۲-۳- ارزیابی نتایج مرحله برداری سازی محور مرکزی راه

در جدول ۲ خطای RMSE محور راه استخراج شده در هر یک از تصاویر ماهواره‌ای مورد استفاده ارائه گردیده است. همان‌طور که مشاهده می‌گردد، اختلاف محور راه استخراج شده به روش دستی و خودکار که در قالب خطای RMSE برای تماس تصاویر مورد استفاده در جدول ۲ معرفی گردیده، در تصاویر موجود در شکل‌های ۲ و ۵ در مقایسه با تصاویر دیگر کمتر است. متفاوت بودن عرض راه‌های موجود در تصویر، وجود تقاطع، ایجاد اثر زیگزاگی در راه و کمتر بودن دقت خوشبندی، از جمله علل اصلی کاهش دقت استخراج راه (افزایش خطای RMSE) در تصاویر دیگر در مقایسه با دو تصویر شکل‌های ۲ و ۵ قلمداد می‌شود. به عنوان مثال شکل ۷ به دلیل تنوع موجود در راهها و عرض آنها وجود تقاطع، دارای بزرگ‌ترین خطای RMSE است. از سوی دیگر بررسی دقت برداری سازی محور مرکزی راه برای تصاویر آزموده شده نشان می‌دهد که برای راه‌های مستقیم، تقاطع‌ها، راه‌های مارپیچ و میدان‌ها به ترتیب افزایش، به نقاط بیشتری برای نمیاش شکل راه نیاز است.

### ۳-۱- ارزیابی نتایج مرحله کشف راه

در جدول ۱ پارامترهای ارزیابی دقت طبقه‌بندی پیش و پس از پردازش با استفاده از ماتریس وقوع توأم برای تصاویر مورد استفاده در این تحقیق ارائه گردیده است. ارزیابی نتایج ارائه شده در جدول ۱ نشان می‌دهد که به طور کلی دقت طبقه‌بندی برای تمامی تصاویر مورد استفاده، پس از پس‌پردازش به روش استفاده از اپراتورهای مورفولوژی، افزایش یافته و یا به عبارت دیگر خطای طبقه‌بندی ( $C_e, O_e$ ) کاهش یافته است و به این صورت کلاس خالص‌تری از عارضه راه به دست آمده است. البته مقدار این افزایش با توجه به بافت و تنوع عارض در تصاویر مختلف متفاوت است.

ضریب Kappa نیز که دقت طبقه‌بندی را در بدترین حالت و نسبت به طبقه‌بندی کاملاً تصادفی نشان می‌دهد، مانند دقت کلی (OA) بعد از پس‌پردازش، در تمامی تصاویر بهبود نشان می‌دهد. میزان بهبود دقت طبقه‌بندی در مورد ضریب Kappa نسبت به پارامتر دقت کلی در خور توجه است. به عنوان مثال شکل‌های ۲، ۵ و ۶ به دلیل کمبودن تنوع عارض موجود در منطقه و اختلاف آشکار درجات خاکستری راه با زمینه، در مقایسه با تصاویر دیگر دارای دقت طبقه‌بندی بالاتری هستند. تنوع بیشتر عارض در ناحیه نیمه‌شهری (شکل‌های ۳، ۴ و ۷) و تشابه بیشتر درجات خاکستری راه با برخی عارض موجود در این

جدول ۱. پارامترهای ارزیابی دقت طبقه‌بندی قبل و پس از پردازش برای تصاویر IKONOS و Landsat مورد استفاده در تحقیق

Fig. No.	Classification Accuracy assessment Before post- processing (%)				Classification Accuracy assessment After post- processing (%)			
	OA	Kappa	Ce	Oe	OA	Kappa	Ce	Oe
	۹۷/۸۷	۸۷/۱۳	۶/۱۷	۱۶/۶۰	۹۸/۸۱	۹۲/۸۲	۰/۵۸	۱۱/۷۹
Fig. <sup>۲</sup>	۹۴/۶۱	۶۶/۲۱	۲۲/۴۳	۲۹/۱۶	۹۷/۹۸	۸۶/۴۵	۷/۲۲	۱۷/۰۵
Fig. <sup>۳</sup>	۹۶/۰۳	۶۵/۵۹	۲۸/۸۶	۳۵/۴۳	۹۷/۸۰	۷۹/۵۱	۶/۹۰	۲۸/۸۵
Fig. <sup>۴</sup>	۹۶/۶۳	۷۶/۷۲	۱۷/۲۲	۲۵/۱۹	۹۸/۴۸	۸۹/۰۸	۰/۱۶	۱۸/۲۵
Fig. <sup>۵</sup>	۹۸/۶۱	۶۷/۷۷	۲۶/۶۱	۳۵/۸۱	۹۹/۱۱	۷۷/۱۷	۵/۲۵	۲۴/۲۷
Fig. <sup>۶</sup>	۹۶/۸۸	۷۲/۷۷	۲۳/۱۳	۲۷/۸۶	۹۷/۲۷	۷۷/۰۵	۱۹/۰۱	۲۳/۹۲

## استخراج اشکال متفاوت راه از تصاویر ماهواره‌ای با قدرت تفکیک‌های مختلف مکانی

جدول ۲. مقادیر RMSE محاسبه شده برای تصاویر Landsat و IKONOS مورد استفاده در تحقیق

Fig. NO.	Satellite Name	Spatial Resolution (meter)	RMSE (pixel)
Fig. 2	IKONOS (pansharp) (119 × 170)	1	0.145
Fig. 3	IKONOS (MS) (115 × 101)	4	0.162
Fig. 4	IKONOS (MS) (169 × 162)	4	0.185
Fig. 5	IRS-1D (Pan) (20.8 × 30.8)	5	0.145
Fig. 6	Landsat-7 ETM+(pansharp) (266 × 250)	15	0.176
Fig. 7	Landsat-7 ETM+(pansharp) (119 × 187)	15	0.194

استخراج شده و همچنین عدم صحت مقادیر به دست آمده برای این پارامتر در راههای دارای اثر زیگزاگی است.

**بررسی تأثیر تغییر تعداد مراکز خوشها در خوشبندی مکانی در تخمین شکل راه**  
 یکی از مهم‌ترین محدودیت‌های تمامی روش‌های خوشبندی، تخمین تعداد بهینه مراکز خوشهاست. اهمیت تعیین تعداد مراکز خوشها (تعداد نقاط شبکه) در خوشبندی انجام گرفته در مرحله برداری سازی راه در این است که تعداد این نقاط نمایانگر نحوه نمایش شکل راه است، بدین معنی که تراکم این نقاط متناسب با میزان انحنای راه تعیین می‌گردد.

شکل ۸ و جدول ۳، کاهش اثر زیگزاگی را با افزایش فاصله بین نقاط شبکه برای تصویر IKONOS موجود در شکل ۲ نشان می‌دهد. مقایسه RMSE‌های موجود در جدول ۲ حاکی از آن است که به طور کلی با افزایش فاصله بین نقاط شبکه از ۵ به ۲۵ پیکسل، سیر نزولی RMSE اتفاق می‌افتد. همچنین اعداد

علاوه بر محاسبه RMSE، معیاری به نام Completeness نیز برای تصویر موجود در شکل ۴ محاسبه گردیده که بیانگر میزان صحت استخراج خودکار راههای موجود در تصویر است. این پارامتر زمانی محاسبه می‌گردد که سامانه قادر به استخراج کامل عارضه مورد نظر نیست و به هر دلیل قسمتی از عارضه استخراج نشده است. مقدار پارامتر برای این تصویر را به درستی استخراج کرده است. همان‌طور که در شکل ۴ (g) مشاهده می‌شود، وجود عارضه میدان در این تصویر، موجب کاهش توانایی الگوریتم MST در استخراج خودکار راههای موجود شده است، لذا برخی از بالهای گراف - که در واقع اتصالات موجود در عارضه میدان هستند - استخراج نشده است. به همین دلیل نیز معیار Completeness برای این تصویر محاسبه گردیده است. لازم به ذکر است که این معیار برای تصاویر دیگری که در این تحقیق به کار گرفته شده‌اند، محاسبه نشده است و علت این امر نیز همان‌طور که پیش از این ذکر شد، عدم نیاز به محاسبه این پارامتر برای راههای کامل

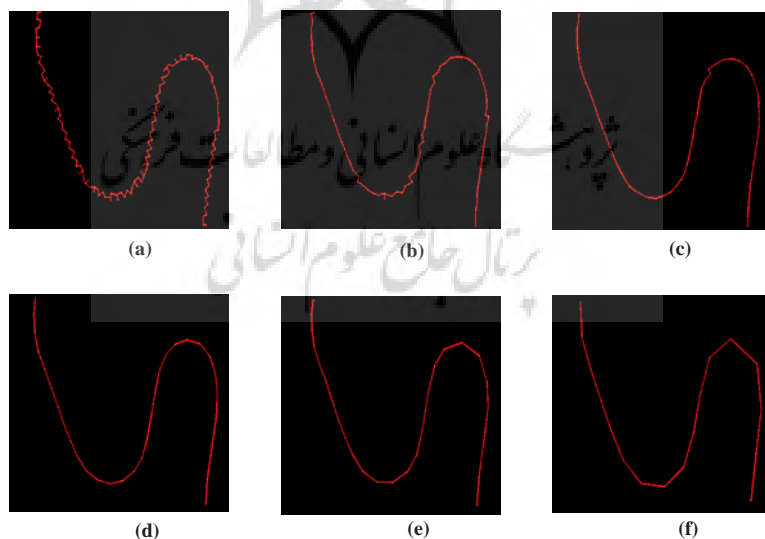
خودکار، و طول راه استخراج شده کاهش می‌یابد. در این فرایند، شکل ۸ (d) نشان‌دهنده مناسب‌ترین فاصله بین نقاط شبکه برآش داده شده یا به عبارت دیگر بهترین تقریب از شکل راه با توجه به مقادیر RMSE و طول راه است. در عین حال همان‌طور که در شکل‌های (e) و (f) مشاهده می‌شود، کاهش بیش از حد فاصله تعداد نقاط شبکه و یا افزایش بیش از حد فاصله آنها موجب می‌شود راه از شکل واقعی‌اش فاصله بگیرد.

محاسبه شده برای طول راه استخراج شده در هر یک از حالت‌های موجود در شکل ۸ که در جدول ۳ ارائه گردیده، بیانگر کاهش طول راه استخراج شده با افزایش فاصله بین نقاط شبکه و افزایش اثر زیگزاگی و طول راه با کاهش فاصله بین نقاط شبکه است.

بنابراین می‌توان بیان کرد که با افزایش فاصله بین نقاط شبکه در خوشبندی مکانی، اثر زیگزاگی در شکل راه، اختلاف محور راه استخراج شده به روش دستی و

جدول ۳. مقایسه RMSE و طول راه استخراج شده از تصویر موجود در شکل ۲ با انتخاب شبکه‌هایی با ابعاد مختلف

Figure	RMSE	Road Length
(a) 5 pixels grid	۱۶/۷۷	۴۸۶/۸۲۳
(b) 8 pixels grid	۰/۸۱	۳۴۵/۴۹۷
(c) 10 pixels grid	۰/۴۶	۲۲۸/۴۲۱
(d) 15 pixels grid	۰/۴۵	۳۲۵/۷۰۸
(e) 20 pixels grid	۰/۳۷	۳۱۶/۵۹۶
(f) 25 pixels grid	۰/۴۶	۳۰۱/۸۷۳
Manual Extracted Road		۳۲۸/۷۰۶



شکل ۸. بررسی اثر ابعاد شبکه در خوشبندی مکانی در تخمین شکل راه محور راه استخراج شده با استفاده از شبکه‌ای به ابعاد (a)  $24 \times 34$ ، (b)  $5 \times 5$  پیکسل، (c)  $8 \times 8$  پیکسل، (d)  $10 \times 10$  پیکسل، (e)  $12 \times 12$  پیکسل، (f)  $15 \times 15$  پیکسل، (g)  $20 \times 20$  پیکسل، (h)  $25 \times 25$  پیکسل

پیشنهادی استخراج نیمه‌خودکار راه شناخته می‌شوند. عامل دیگر تأثیرگذار بر دقت سامانه، شکل و ضخامت راههای موجود در تصویر است. در تحقیق حاضر، شکل‌های مختلف راه شامل راه مستقیم، مارپیچ، تقاطع و میدان مورد بررسی قرار گرفته‌اند. هر چه انحنای راه بیشتر باشد، به منظور تخمین دقیق‌تر شکل راه به شبکه متراکم‌تری از نقاط نیاز است؛ بنابراین می‌توان گفت که کاهش فاصله نقاط شبکه موجب تخمین دقیق‌تر شکل راه و در عین حال ایجاد اثر زیگزاگی در راه می‌شود. بنابراین انتخاب شبکه‌ای با فواصل مناسب و متناسب با شکل و ضخامت راه امری مهم قلمداد می‌شود.

از سوی دیگر، سامانه پیشنهادی قادر به استخراج کامل راه از تصاویری که دارای عوارض سیکل‌مانند هستند - نظیر میدان‌ها و فلکه‌ها - نخواهد بود، زیرا الگوریتم استفاده شده برای اتصال نقاط شبکه (الگوریتم MST) شرط اساسی نداشتن سیکل در گراف را - که شرطی محدود‌کننده در استخراج میدان‌ها به حساب می‌آید - در خود دارد. به همین دلیل در چنین تصاویری نیاز به انجام عملیات تکمیلی برای استخراج قطعات راه جافتاده وجود دارد.

نتایج به دست آمده نشان می‌دهد که به طور کلی هر چه شکل راه پیچیده‌تر باشد، به تعداد نقاط اصلی بیشتری برای نمایش شکل راه نیاز است. در مورد تصاویر آزموده شده در این مقاله و با در نظر گرفتن ابعاد تصویر و طول راههای موجود در آن، برای راههای مستقیم، تقاطع‌ها، راههای مارپیچ و میدان‌ها به ترتیب افزایش، به نقاط بیشتری برای نمایش شکل راه نیاز است.

## ۵- تشکر و قدردانی

در پایان لازم می‌دانم از دوستان محترم در سازمان راهداری و حمل و نقل جاده‌ای، بهویژه دکتر مسعود طبیبی به‌خاطر رهنمون‌های ارزشمندان در پیاده‌سازی این پروژه، مراتب تشکر و قدردانی را به‌جا آورم. همچنین از سازمان جغرافیایی کشور که عهده‌دار تهیه تصاویر IRS این پروژه بوده‌اند، قدردانی می‌کنم.

## ۴- جمع‌بندی و نتیجه‌گیری

پژوهش حاضر با هدف پیشنهاد و معرفی سامانه استخراج نیمه‌خودکار راه، از تصاویر ماهواره‌ای LANDSAT<sub>7</sub>, ETM<sub>+, D</sub>, IRS<sub>+, D</sub> و IKONOS تفکیک‌های مکانی به ترتیب ۱ و ۴ متر، ۵ متر و ۱۵ متر و با هدف تهیه و بهنگام‌رسانی نقشه‌های متوسط و کوچک‌مقیاس سازمان راهداری و حمل و نقل جاده‌ای و با استفاده از تلفیقی از روش‌های خوشبندی FCM در فضای طیفی، c.means، اپراتورهای مورفولوژی، و تئوری گراف انجام گرفته است. در سامانه مذکور کوشش شده است که اشکال مختلف راه اعم از راههای مستقیم، مارپیچ، تقاطع‌ها و میدان‌ها عمده‌تاً در نواحی غیرشهری، نیمه‌شهری و کوهستانی مورد بررسی قرار گیرند و نتایج حاصل از ارزیابی دقت آنها در قالب جداولی ارائه شوند.

رسیدن به میانگین دقت کلی (OA) بیش از ۹۸ درصد، میانگین ضریب کاپا (Kappa) بیش از ۸۳ درصد در طبقه‌بندی تصویر به دو کلاس راه و غیرراه، و حصول میانگین خطای RMS حدود ۰/۶۸ پیکسل، از مقایسه محور راه استخراج شده با واقعیت زمینی آن، نشانگر موفقیت کلی سامانه پیشنهادی برای استخراج نیمه‌خودکار راه است. نتایج و محدودیت‌های سامانه مذکور را می‌توان در قالب موارد زیر عنوان کرد:

در مقایسه تصاویر Pansharpened و MS، Pan باقیت خاطرنشان کرد که افزایش باندهای حاوی اطلاعات در تصاویر ماهواره‌ای (به تعداد کم) موجب افزایش آشکار دقت طبقه‌بندی، و افزایش بیش از اندازه آن موجب ایجاد همبستگی بین باندها و ثابت ماندن و یا کاهش دقت طبقه‌بندی می‌گردد. استفاده از تصاویر Pansharpened نیز تنها حد تفکیک مکانی تصویرشده را بالا می‌برد و بر دقت طبقه‌بندی تأثیر نمی‌گذارد. بنابراین می‌توان چنین تفسیر کرد که حد تفکیک مکانی تصویر تأثیر چندانی بر دقت استخراج سامانه پیشنهادی ندارد و حد تفکیک طیفی، تنوع عوارض موجود در تصویر، شکل و ضخامت راههای موجود به عنوان ملاک‌های مهم‌تری در ارزیابی دقت سامانه

۶- منابع

- Bezdek, J.C., Ehrlich, R., and Full, W., 1984, **FCM: The fuzzy c-means clustering algorithm**, Computers and Geosciences, 10, PP. 191-203.
- Bonnefon, R., Dherete, P., Desachy, J., 2002, **Geographic information system updating using remote sensing images**, Pattern Recognition Lett. 23 (9), PP. 1073\_1083.
- Chiang, Y., Knoblock C., Shahabi C., 2008, **Automatic and Accurate Extraction of Road Intersections from Raster Maps**, Journal of Geoinformatica, Springer Science + Business Media, LLC 2008.
- Doucette, P., Agouris, P., Stefanidis, A., Musavi, M., 2001, **Self-organised clustering for road extraction in classified imagery**, ISPRS Journal of Photogrammetry & Remote Sensing 55, PP. 347–358.
- Farnood Ahmadi, F., Valadan Zoej, M.J., Ebadi, H., and Mokhtarzade, M., 2008, **Road Extraction from High Resolution Satellite Images Using Image Processing Algorithms and CAD-Based Environments Facilities**, Journal of Applied Sciences, 8, PP. 2975-2982.
- Gonzalez, Rafael C., Woods, Richard E., 2007, **Digital image processing**, Prentice-Hall, Inc, 3th ed.
- Hellwich, O., Wiedemann, C. 2000, **Object extraction from high resolution multisensor image data**, 3rd International Conference Fusion of Earth Data, Sophia Antipolis, January, GreCA, Nice, PP. 105-115.
- Horowitz, E., Sahni, S., Anderson-Freed, S., 2007, **Fundamentals of Data Structures in C**, Silicon Pr; 2nd ed.
- Mena, J. B., 2003, **State of the art on automatic road extraction for GIS update: a novel classification**, Pattern Recognition Letters 24(16), PP. 3037-3058.
- Mena, J.B., 2006, **Automatic vectorization of segmented road networks by geometrical and topological analysis of high resolution binary images**, Alcalá de Henares University, Department of Mathematics (Geodesy), Polytechnic School, E-28871 Madrid, Spain.
- Mohammadzadeh, A., Tavakoli, A., Valadan Zoj, M., 2006, **Road extraction based on fuzzy logic and mathematical morphology from pan-sharpened Ikonos images**, Photogrammetric Record, 21(113): PP. 44-60.
- Mokhtarzade M., Valadan Zoj, M., 2007, **Road detection from high-resolution satellite images using artificial neural networks**, International Journal of Applied Earth Observation and Geoinformation, Volume 9, Issue 1, February, PP. 32-4.
- Poonam S. Tiwaria, Hina Pandea & Mya Nan Ayeb, 2009, **Exploiting IKONOS and Hyperion data fusion for automated road extraction**, Geocarto International Journal, Volume 25, Issue 2, PP. 123-131.
- Richards, John A., Xiuping, Jia, 2006, **Remote sensing digital image analysis: an introduction**, Springer; 4th ed., Chapter 3, 9 & 11.

Smadja, L., Ninot, J. and Gavrilovic, T., 2010,  
**Road Extraction and Environment  
Interpretation from Lidar Sensors,**  
IAPRS, Vol. XXXVIII, Part 3A – Saint-  
Mandé, France.

Sowmya, A., Trinder, J., 2000, **Modelling and  
representation issues in automated  
feature extraction from aerial and  
satellite images**, Journal of Photogrammetry  
and Remote Sensing 55, 34-47.

Yao, L., 2009, **Semi-automatic Road  
Extraction from Very High Resolution  
Remote Sensing Imagery by Road  
Modeler**, A thesis presented to the

University of Waterloo in fulfillment of the  
thesis requirement for the degree of Master  
of Science in Geography.

Yuan, J., Wang, D., Wu, B., Yan, L., Li, R.,  
2009, **Automatic road extraction from  
satellite imagery using LEGION  
networks**, International Joint Conference on  
Neural Networks, IJCNN 2009.

Zhang, Q., Couloigner, I., 2006, **Automated  
road network extraction from high  
resolution multi-spectral imagery**,  
Proceedings of ASPRS 2006 Annual  
Conference, Reno, Nevada.

